
Московский Физико-Технический Институт
(государственный университет)

Государственный экзамен по общей физике. Вопрос по выбору.

Численное решение временного уравнения Шрёдингера и визуализация физических моделей на его основе.

Автор:
Филиппенко Павел Б01-009



Долгопрудный, 2023

Содержание

1	Постановка задачи	3
2	Уравнение Шрёдингера	3
3	Прямоугольный потенциальный барьер	4
4	Численное решение уравнения Шрёдингера и создание визуализации	8
4.1	Численное решение	8
4.2	Средний импульс и средняя координата	9
4.3	Волновая функция $\psi(x, 0)$	12
5	Краткое описание моделей	13
5.1	Волновая функция в отсутствии препятствий	13
5.2	Прямоугольная потенциальная яма	13
5.3	Параболическая потенциальная яма	13
5.4	Прямоугольный потенциальный барьер конечной ширины	14
5.5	Равномерно возрастающий потенциал	14
5.6	Прямоугольный потенциальный барьер	15
5.7	Бесконечно глубокая потенциальная яма	15
5.8	Общий случай прямоугольного потенциального барьера	16
6	Вывод	16

1 Постановка задачи

В рамках данной работы мы рассмотрим эффект надбарьерного и подбарьерного перехода квантовой частицы. Конкретно сконцентрируем внимание на эффекте квантового туннелирования. В практической части работы с помощью численного решения временного уравнения Шрёдингера мы смоделируем визуализацию волновой функции. Кроме того мы рассмотрим ее взаимодействие с различными видами потенциальных барьеров и пронаблюдаем зависимости различных параметров, полученных теоретическим путем.

2 Уравнение Шрёдингера

В терминах операторов уравнение Шрёдингера записывается следующим образом

$$\hat{H}\psi = E\psi \quad (1)$$

где \hat{H} – в данном случае оператор полной энергии (гамильтониан), E – полная энергия квантовой частицы. Запишем выражение для оператора \hat{H}

$$\hat{H} = -\frac{\hbar^2}{2m}\Delta + U \quad (2)$$

где Δ – оператор Лапласа, U – потенциальная энергия. В рамках данной работы мы считаем, что потенциальная энергия является функцией чисто координаты, то есть не зависит от времени. Тогда уравнение Шрёдингера можно переписать, как дифференциальное уравнение второго порядка

$$\Delta\psi + \frac{2m}{\hbar^2}(E - U)\psi = 0 \quad (3)$$

Для перехода к более общему случаю – уравнению, которое описывает волновую функцию ψ во времени заменим в исходном уравнении E на соответствующий оператор.

$$i\hbar\frac{\partial\psi}{\partial t} = \hat{H}\psi \quad (4)$$

Заметим, что в соответствии с теорией дифференциальных уравнений для нахождения решения для всех моментов времени необходимо единственное начальное решение $\psi(r, 0)$.

Заметим так же, что оператор \hat{H} не зависит от времени и действует только на функции от координат. Это позволяет произвести разделение переменных r и t .

$$\psi(r, t) = f(t)\phi(r)$$

Подставляя в уравнение, получим

$$i\hbar\psi(r)\frac{df}{dt} = f(t)\hat{H}\phi(r)$$

$$i\hbar\frac{1}{f(t)}\frac{df}{dt} = \frac{1}{\phi(r)}\hat{H}\phi(r)$$

В равенстве левая и правая части зависят от разных переменных, таким образом, чтобы равенство было верным, необходимо, чтобы обе части уравнения были постоянными. Обозначим

$$i\hbar\frac{1}{f(t)}\frac{df}{dt} = \frac{1}{\phi(r)}\hat{H}\phi(r) = E$$

Тогда, с одной стороны мы получаем уравнение для стационарного случая

$$\hat{H}\phi(r) = E\phi(r)$$

а с другой стороны решение части, зависящей от времени

$$f(t) = \text{const} \cdot e^{\frac{-iEt}{\hbar}}$$

Таким образом, решение временного уравнения записывается следующим образом

$$\psi(r, t) = \phi(r)e^{-iEt} \quad (5)$$

3 Прямоугольный потенциальный барьер

Основной задачей в данном разделе будет получение выражения для коэффициентов надбарьерного перехода (в случае $E > U$) и подбарьерного перехода (в случае $E < U$).

При решении подобных задач стандартный способ заключается в составлении уравнений Шрёдингера для различных зон, в зависимости от распределения потенциальной энергии, а так же записи граничных условий. Общий вид такого стационарного уравнения

$$\frac{d^2\psi}{dx^2} + k^2\psi = 0 \quad (6)$$

где

$$k^2 = \frac{2m}{\hbar^2}(E - U) \quad (7)$$

Будем обозначать r и d – коэффициенты отражения и прохождения по амплитуде соответственно, R и D – коэффициенты отражения и прохождения по энергии. Записывая систему уравнений для различных зон, а так же граничные условия, можно установить выражения для коэффициентов r и d :

$$r = \frac{k_1 - k_2}{k_1 + k_2} \quad (8)$$

$$d = \frac{2k_1}{k_1 + k_2} \quad (9)$$

Выражения для коэффициентов отражения и прохождения по энергии выводятся с применения понятия плотности потока вероятности

$$R = |r|^2 \quad (10)$$

$$\frac{k_2}{k_1}|d|^2 \quad (11)$$

Подробный вывод данных формул в рамках данной работы мы опустим.

Рассмотрим некоторые общие соотношения, связывающие амплитудные коэффициенты отражения и пропускания волн де Бройля на границе барьера.

Рассматривая рисунок 1 обозначим за r , d амплитудные коэффициенты в случае, когда волна распространяется слева направо, и r' , d' когда волна распространяется справа налево. Утверждается, что если поменять направления всех волн без изменения их амплитуд, то граничные условия не изменятся. В любом случае на границе должен выполняться баланс амплитуд прошедших и отраженных волн. Используя это утверждение, можно записать

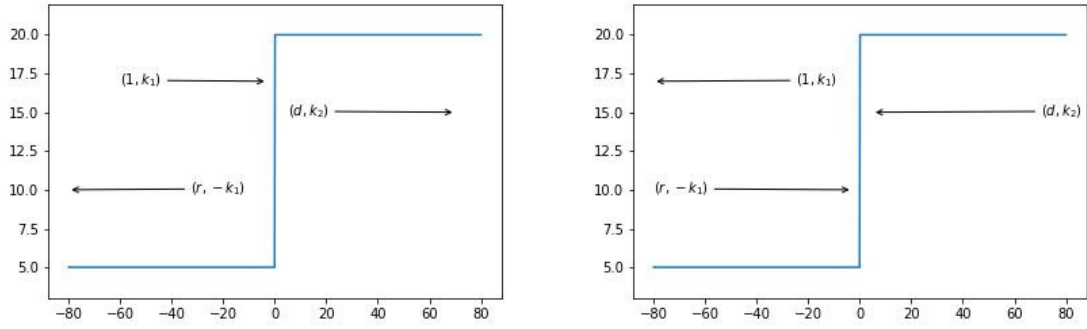


Рис. 1: Волны на границе

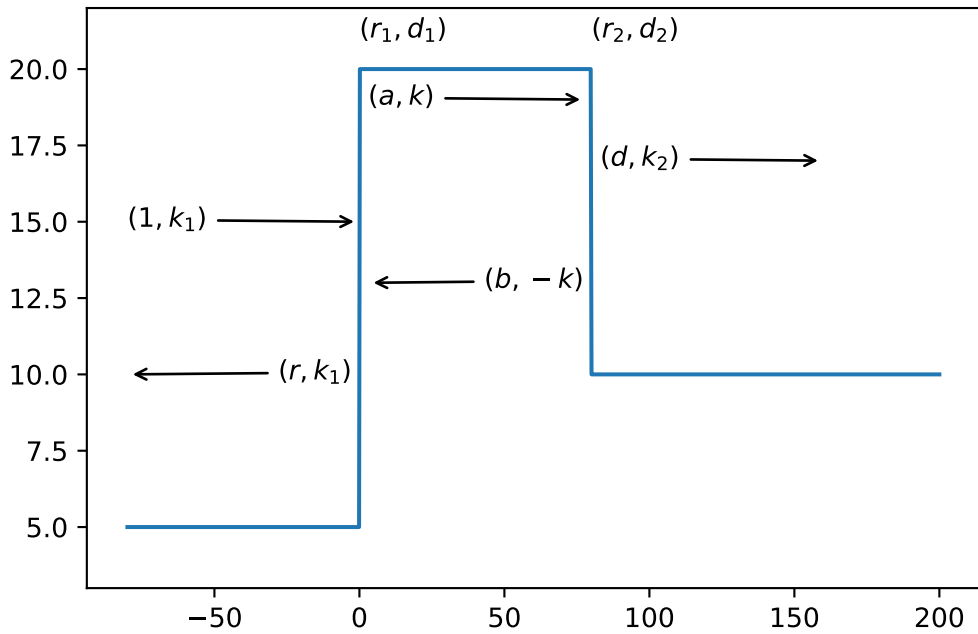


Рис. 2: Прохождение волны через потенциальный барьер

$$\begin{cases} r^2 + dd' = 1 \\ rd + dr' = 0 \end{cases} \quad (12)$$

откуда получаем важные соотношения $r = -r'$, $d' = \frac{1-r}{d}$. Мы воспользуемся ими дальше, а сейчас перейдем, наконец, к рассмотрению нашей непосредственной задачи.

В данном случае, потенциал в пространстве распределен следующим образом

$$U(x) = \begin{cases} U_1 & x < 0 \\ U & 0 \leq x \leq a \\ U_2 & x > a \end{cases} \quad (13)$$

Запишем уравнения Шрёдингера для каждой зоны

$$\begin{aligned}\psi'' + \frac{2m(E - U_1)}{\hbar^2}\psi &= 0 \\ \psi'' + \frac{2m(E - U)}{\hbar^2}\psi &= 0 \\ \psi'' + \frac{2m(E - U_2)}{\hbar^2}\psi &= 0\end{aligned}$$

Поскольку мы рассматриваем случай $E < U$ (случай подбарьерного перехода), введем обозначения для коэффициентов k

$$\begin{aligned}k_1 &= \frac{\sqrt{2m(E - U_1)}}{\hbar} \\ k &= i\alpha = \frac{\sqrt{2m(E - U)}}{\hbar} \\ k_2 &= \frac{\sqrt{2m(E - U_2)}}{\hbar}\end{aligned}$$

где $\alpha = \frac{\sqrt{2m(U - E)}}{\hbar}$.

Рассматривая прохождение потенциального барьера конечной ширины l рис 2, обозначим r_1, d_1 – амплитудные коэффициенты на первой границе, r_2, d_2 – амплитудные коэффициенты на второй границе. При распространении волны в обратном направлении, соответственно r'_1, d'_1, r'_2, d'_2 . За r и d обозначим амплитудные коэффициенты при прохождении всего барьера. Тогда, рассматривая волны на правой и левой границе, получим

$$\begin{aligned}r &= r_1 + d_1 b & a &= d_1 + r'_1 b \\ d e^{ik_2 l} &= d_2 a e^{ikl} & b e^{-ikl} &= r_2 a e^{ikl}\end{aligned}$$

Решая эту систему, и учитывая соотношения (12) получим выражения для амплитудных коэффициентов

$$r = \frac{r_1 + r_2 e^{2ikl}}{1 + r_1 r_2 e^{2ikl}} \quad d = \frac{d_1 d_2 e^{-i(k_2 - k)l}}{1 + r_1 r_2 e^{2ikl}} \quad (14)$$

Подставляя

$$r_1 = \frac{k_1 - k}{k_1 + k} \quad d_1 = \frac{2k_1}{k_1 + k} \quad (15)$$

$$r_2 = \frac{k - k_2}{k + k_2} \quad d_2 = \frac{2k}{k + k_2} \quad (16)$$

а так же используя выражение

$$D = \frac{k_2}{k_1} |d|^2 = \frac{k_2}{k_1} d d^*$$

получим формулу для коэффициента подбарьерного перехода

$$D = \frac{16k_1 k_2 \alpha^2}{(k_1^2 + \alpha^2)(k_2^2 + \alpha^2)(e^{2\alpha l} + e^{-2\alpha l}) + 2(\alpha^2 - k_1 k_2)} \quad (17)$$

Итак, мы получили общее выражение для подбарьерного перехода. В рамках нашей численной задачи, мы будем рассматривать частный случай, при котором $U_1 = U_2 = 0$, $U = U_0$, тогда выражение для D можно легко переписать в терминах энергий

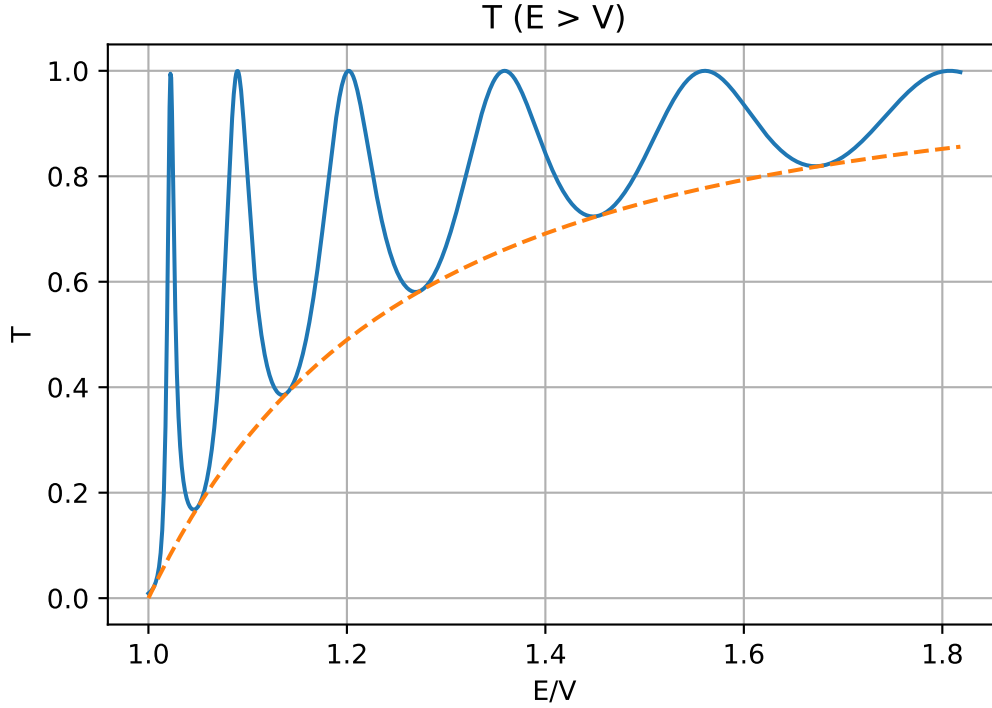


Рис. 3: Коэффициент надбарьерного перехода

$$D = \frac{1}{1 + \frac{U_0^2}{4E(U_0 - E)} \sinh^2 kl} \quad (18)$$

где $k = \frac{\sqrt{2m(U_0 - E)}}{\hbar}$. Именно это выражение мы будем использовать в качестве результата теоретического расчета при исследовании численного решения.

Проводя аналогичные рассуждения для ситуации, в которой $E > U$ (надбарьерный переход), для коэффициента прохождения получим следующее выражение

$$D = \frac{1}{1 + \frac{U_0^2}{4E(U_0 - E)} \sin^2 kl} \quad (19)$$

где $k = \frac{\sqrt{2m(E - U_0)}}{\hbar}$.

Довольно интересным оказывается рассмотреть зависимости коэффициентов надбарьерного и подбарьерного перехода в зависимости от энергии E .

Рассматривая графики 3 и 4 можно заметить следующие закономерности:

1. Коэффициент надбарьерного перехода не возрастает строго, а осциллирует. Это возникает в силу наличия синуса в знаменателе. Это значит, что частица с более высокой энергией не обязательно имеет большую вероятность преодоления барьера.
2. Коэффициент подбарьерного перехода монотонно возрастает с увеличением энергии. Это значит, что чем больше энергия частицы, тем больше вероятность ее проскочить под барьером.

Данные утверждения мы в дальнейшем проверим визуально.

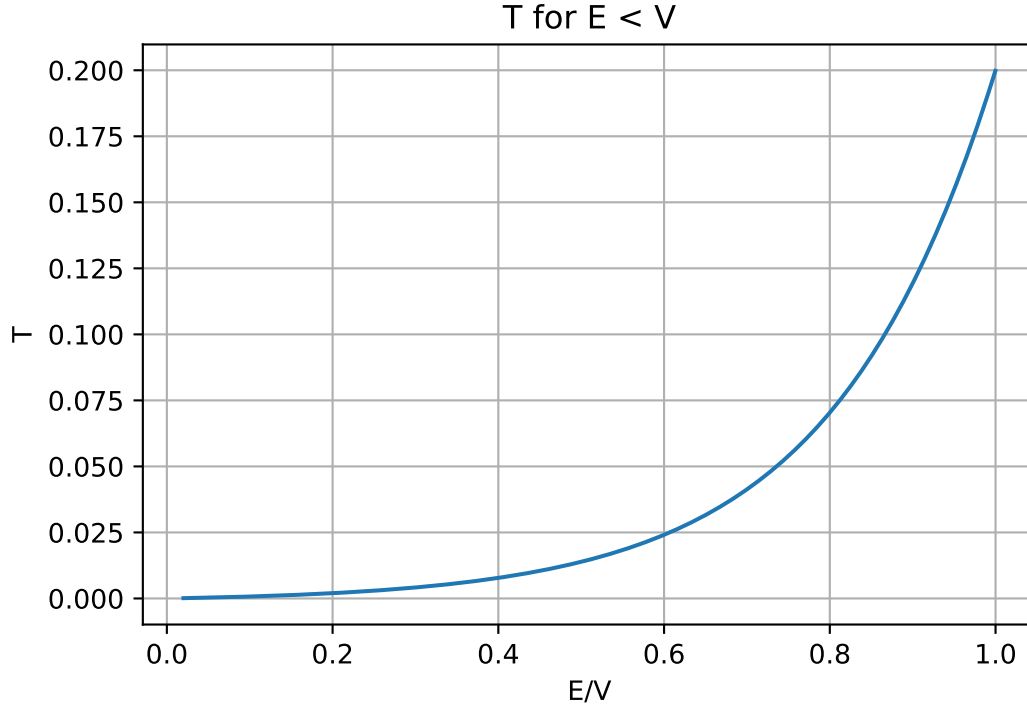


Рис. 4: Коэффициент подбарьерного перехода

4 Численное решение уравнения Шрёдингера и создание визуализации

4.1 Численное решение

Запишем уравнение Шрёдингера, зависящее от времени

$$i\hbar \frac{\partial \psi}{\partial t} = \hat{H} \psi(r, t) \quad (20)$$

где \hat{H} – в данном случае оператор полной энергии (гамильтониан). Запишем этот оператор

$$\hat{H} = -\frac{\hbar^2}{2m} \Delta + U(r) \quad (21)$$

где Δ – оператор Лапласа. Решение полученного дифференциального уравнения записывается следующим образом

$$\psi(r, t) = \exp(-iHt) \psi(r, 0) \quad (22)$$

Перейдем к обсуждению численного решения. Пространственный интервал поделим сеткой на N частей. В каждый отдельный момент времени волновая функция будет представлять собой N -мерный вектор значений функции в узлах сетки. Таким образом, получая с помощью (22) значение волновой функции в каждый следующий момент времени мы в итоге сможем наблюдать, изменение и движение волновой функции.

Поскольку мы будем рассматривать одномерное движение, гамильтониан можно переписать в следующем виде.

$$\hat{H} = -\frac{\hbar^2}{2m} \frac{\partial^2}{\partial x^2} + U(x) \quad (23)$$

Таким образом задача численного решения свелась к необходимости получить оператор H , из которого в последствии можно будет получить оператор $\exp(-iHt)$.

Для вычисления второй производной воспользуемся формулой

$$\frac{\partial^2 \psi}{\partial x^2}_{x=j\Delta x} = \frac{\psi_{j+1} - 2\psi_j + \psi_{j-1}}{\Delta x^2} \quad (24)$$

В данном случа под dx понимается не бесконечно малое значение, как в математическом анализе, а Δx – период пространственной сетки.

Тогда, если ψ представляет собой вектор дискретных значений

$$\begin{pmatrix} \psi_1 \\ \psi_2 \\ \dots \\ \psi_N \end{pmatrix} \quad (25)$$

То вектор значений вторых производных этой функции в узлах построенной сетки можно получить с помощью трехдиагональной матрицы

$$\begin{pmatrix} \psi_1'' \\ \psi_2'' \\ \dots \\ \psi_N'' \end{pmatrix} = \frac{1}{\Delta x^2} \begin{pmatrix} -2 & 1 & 0 & 0 & \dots & 0 & 0 \\ 1 & -2 & 1 & 0 & \dots & 0 & 0 \\ 0 & 1 & -2 & 1 & \dots & 0 & 0 \\ \dots & \dots & \dots & \dots & \dots & \dots & \dots \\ 0 & 0 & 0 & 0 & \dots & -2 & 1 \end{pmatrix} \begin{pmatrix} \psi_1 \\ \psi_2 \\ \dots \\ \psi_N \end{pmatrix} \quad (26)$$

Значение потенциальной энергии U так же можно представить в виде вектора значений в узлах сетки. Тогда действие оператора H на вектор значений волновой функции ψ можно представить, как умножение вектора значений волновой функции на матрицу

$$H = -\frac{\hbar^2}{2m\Delta x^2} \begin{pmatrix} -2 & 1 & 0 & 0 & \dots & 0 & 0 \\ 1 & -2 & 1 & 0 & \dots & 0 & 0 \\ 0 & 1 & -2 & 1 & \dots & 0 & 0 \\ \dots & \dots & \dots & \dots & \dots & \dots & \dots \\ 0 & 0 & 0 & 0 & \dots & -2 & 1 \end{pmatrix} + \begin{pmatrix} V_1 & 0 & 0 & 0 & \dots & 0 & 0 \\ 0 & V_2 & 0 & 0 & \dots & 0 & 0 \\ 0 & 0 & V_3 & 0 & \dots & 0 & 0 \\ \dots & \dots & \dots & \dots & \dots & \dots & \dots \\ 0 & 0 & 0 & 0 & \dots & 0 & V_N \end{pmatrix} \quad (27)$$

Мы получили вид оператора полной энергии для N -мерного вектора значений волновой функции. Далее, получив с помощью встроенных математических функций оператор $\exp(-iHt)$, по значению волновой функции в некоторый момент времени $\psi(r, t)$ мы сможем с помощью (22) получить значение волновой функции в узлах сетки в момент времени $t + dt$.

Результат работы мы можем видеть на рисунках 5, 6 и 7. Изменение положения волновой функции со временем мы можем видеть на рисунках 8, 9.

4.2 Средний импульс и средняя координата

Зная значение волновой функции $\psi(x, t)$ в любой точке в любой момент времени, мы сможем рассчитывать средние величины по формуле

$$\langle f \rangle = \int \psi^* \hat{f} \psi dV \quad (28)$$

Заметим, что в данном случае в левой части равенства f – некоторая функция, а в правой части равенства \hat{f} – **оператор**. Вспомним, что оператор импульса имеет выражение

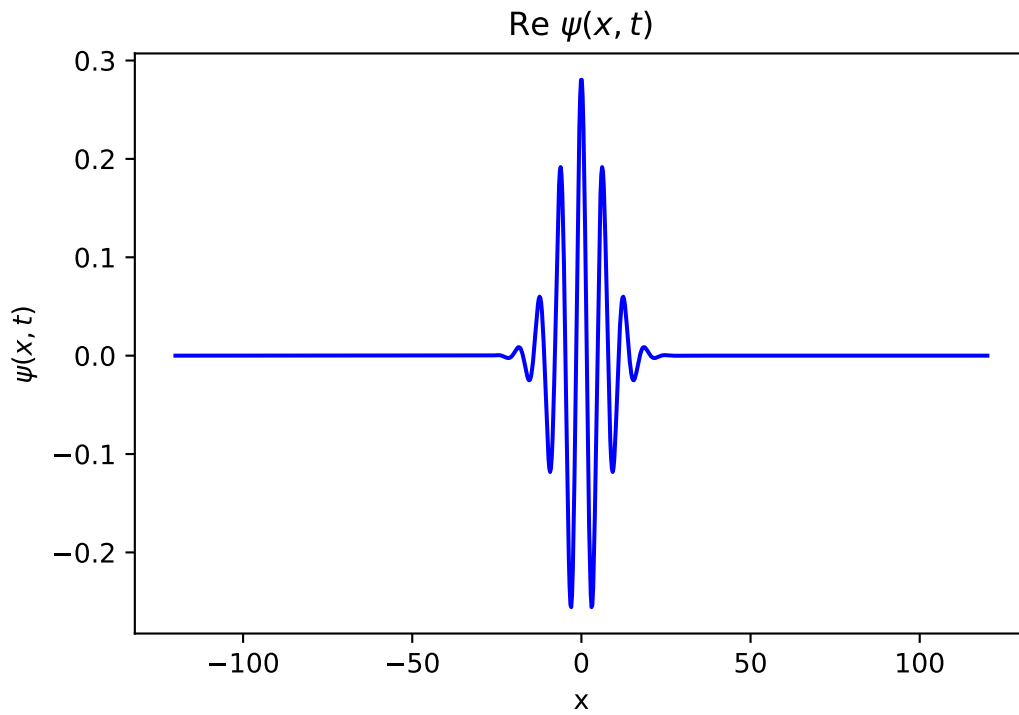


Рис. 5: Волновая функция. Действительная часть

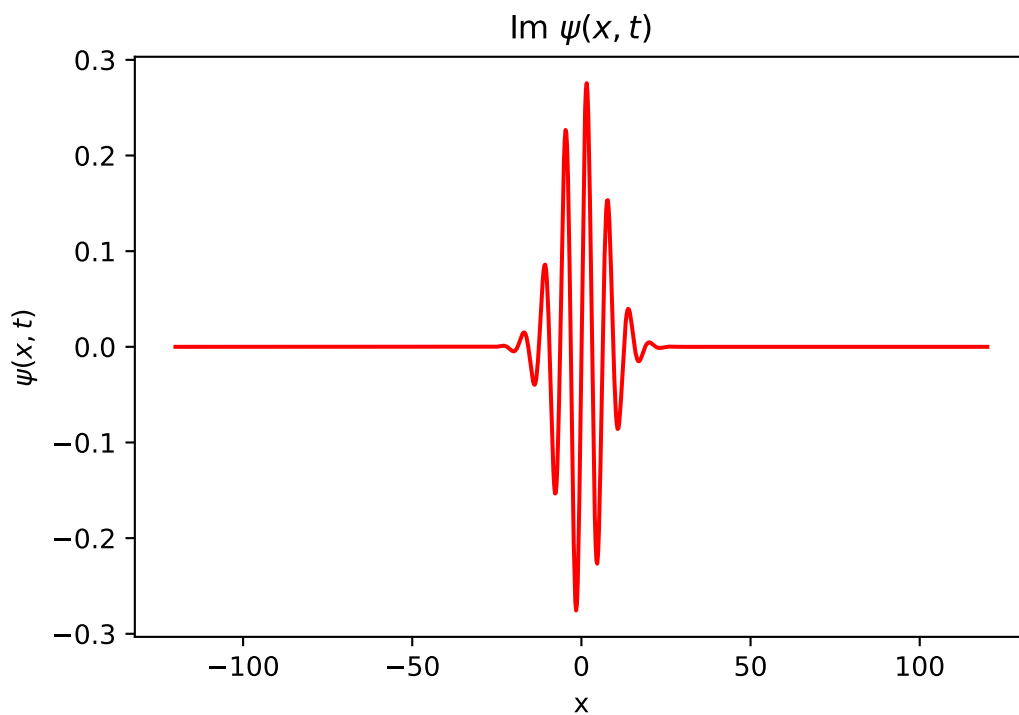


Рис. 6: Волновая функция. Мнимая часть

$$\hat{p} = -i\hbar\nabla = -i\hbar\frac{\partial}{\partial x} \quad (29)$$

Тогда мы сможем находить значения средней координаты и среднего импульса динамически

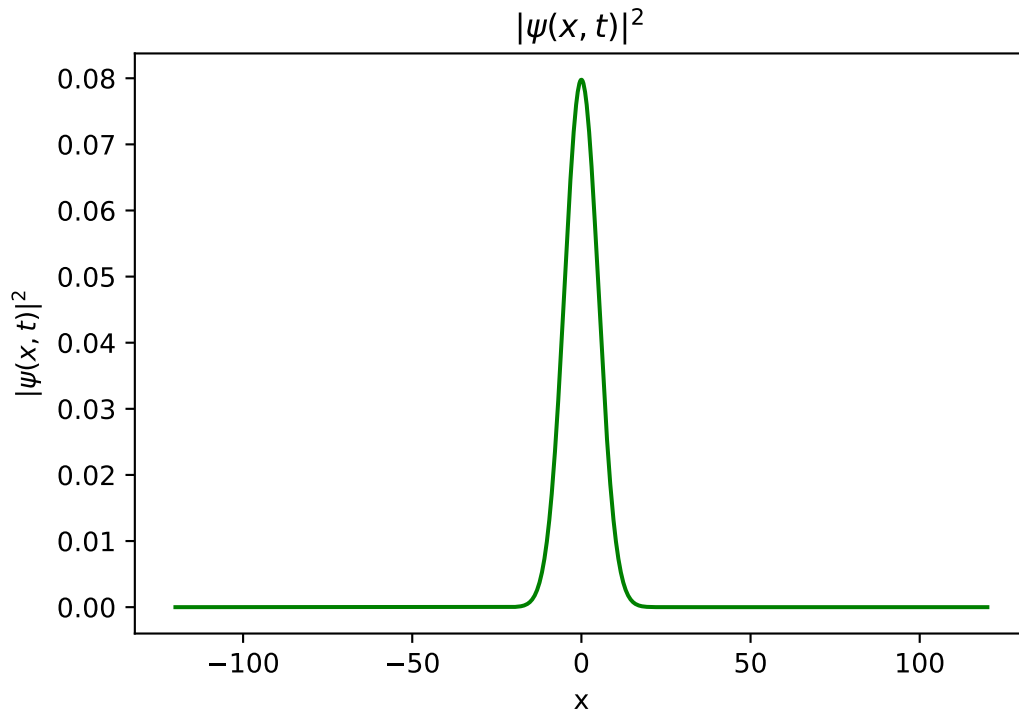


Рис. 7: Модуль квадрата волновой функции

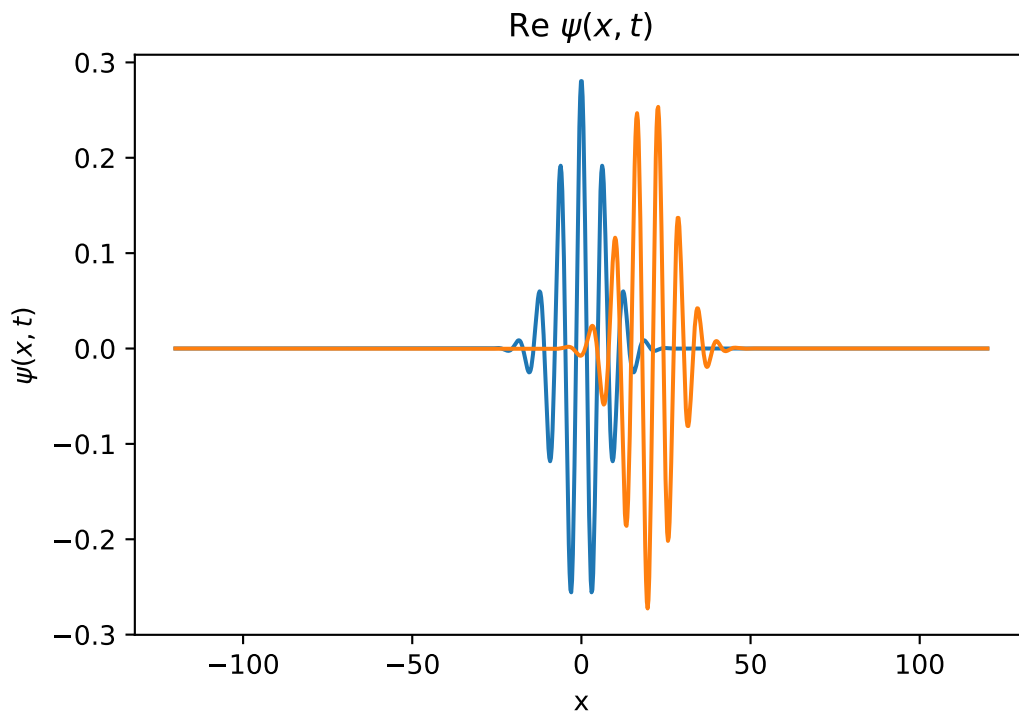


Рис. 8: Изменение положения волновой функции

$$\langle x \rangle = \int \psi^* x \psi dx \quad (30)$$

$$\langle p \rangle = \int \psi^* \frac{\partial \psi}{\partial x} dx \quad (31)$$

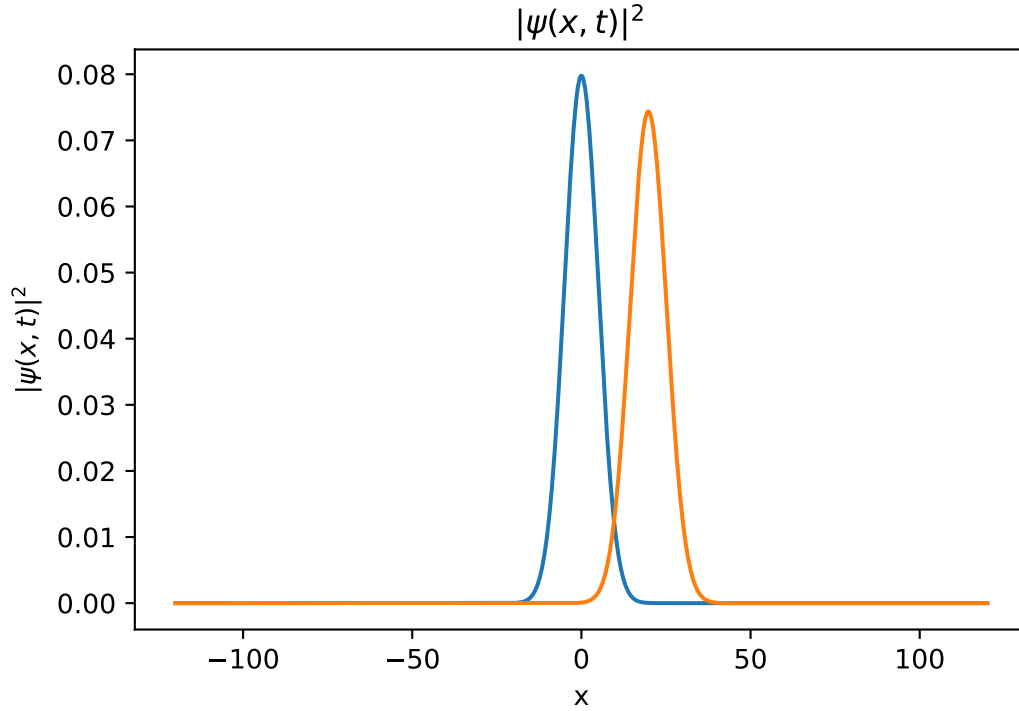


Рис. 9: Изменение положения волновой функции

4.3 Волновая функция $\psi(x, 0)$

Как видно из (22), для того, чтобы построить решение, необходимо задать функцию $\psi(r, 0)$. То есть, задать волновую функцию в пространстве в начальный момент времени.

Решением стационарного уравнения Шрёдингера в общем случае является функция

$$\psi(r) = \psi_0 \exp \frac{i\vec{p}\vec{r}}{\hbar} \quad (32)$$

В одномерном случае это выражение запишется в несколько упрощенном виде

$$\psi(r) = \psi_0 e^{\frac{ipx}{\hbar}}$$

где $p = \sqrt{2mE}$.

В программе в качестве начального решения будем задавать волновую функцию следующего вида

$$\psi(x) = \left(\frac{1}{\pi\sigma_0^2} \right)^{\frac{1}{4}} \exp \left(ip_0x - \frac{(x - x_0)^2}{2\sigma_0^2} \right) \quad (33)$$

где p_0 – начальный импульс, x_0 – начальная координата, σ_0 – неопределенность координаты (учет соотношения неопределенности).

При этом ширина σ не остается постоянной. Имеет место **расплывание** ширины σ по следующему закону

$$\sigma(t) = \sigma_0 \sqrt{1 + \left(\frac{\hbar t}{m\sigma_0^2} \right)^2} \quad (34)$$

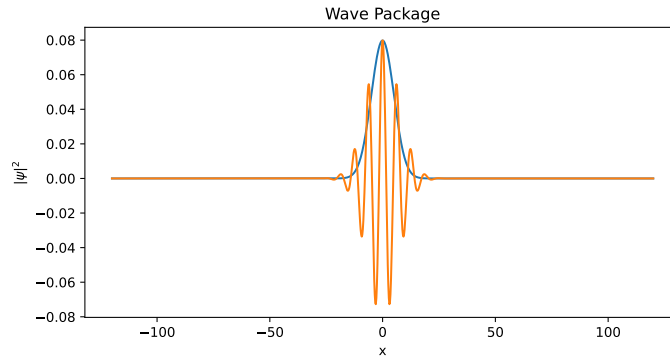


Рис. 10: Волновая функция в отсутствии препятствий

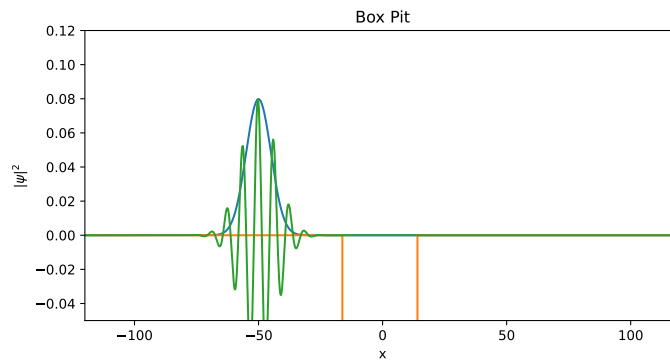


Рис. 11: Прямоугольная потенциальная яма

5 Краткое описание моделей

5.1 Волновая функция в отсутствии препятствий

На примере этой модели (рис 10) мы рассматриваем волновую функцию в отсутствии потенциальных барьеров. То есть эта ситуация по-сути демонстрирует свободное равномерное прямолинейное движение квантовой частицы.

Наиболее хорошо на примере этой модели можно пронаблюдать увеличение ширины σ с течением времени. Особо стоит обратить внимание на то, что чем меньше начальная ширина, тем быстрее она возрастает.

5.2 Прямоугольная потенциальная яма

Классическая задача, рассматриваемая в курсе физики рис 11. Прохождение волновой функции через потенциальную яму. На примере этой модели можно рассмотреть отражение и прохождение волны на границах областей.

5.3 Параболическая потенциальная яма

Модель демонстрирует осциляцию волновой функции внутри параболической потенциальной ямы $U = \frac{ax^2}{2}$ рис 12.

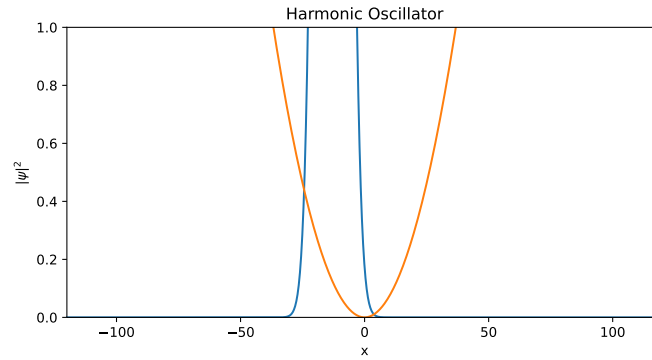


Рис. 12: Параболическая потенциальная яма

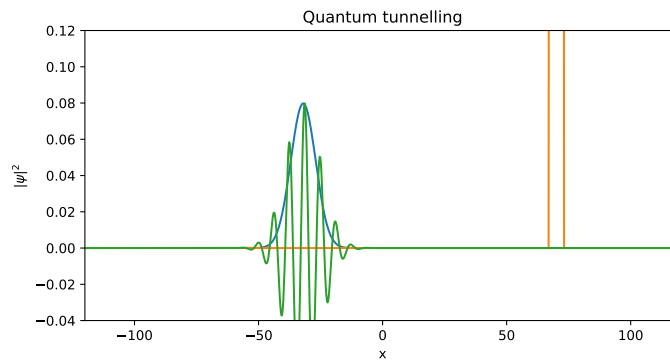


Рис. 13: Прямоугольный потенциальный барьер конечной ширины

5.4 Прямоугольный потенциальный барьер конечной ширины

Основная задача данной работы рис 13. На примере модели можно рассматривать надбарьерное прохождение а так же эффект квантового туннелирования. Кроме того, на примере данной модели можно наблюдать изменение коэффициента прохождения в зависимости от энергии E в случае надбарьерного и подбарьерного перехода, а так же в зависимости от различных параметров.

5.5 Равномерно возрастающий потенциал

Модель демонстрирует поведение волновой функции при равномерном возрастании потенциальной энергии $U(x) = kx$ рис 14.

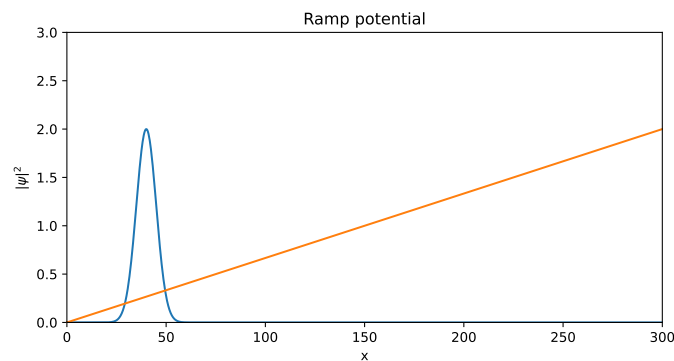


Рис. 14: Равномерно возрастающий потенциал

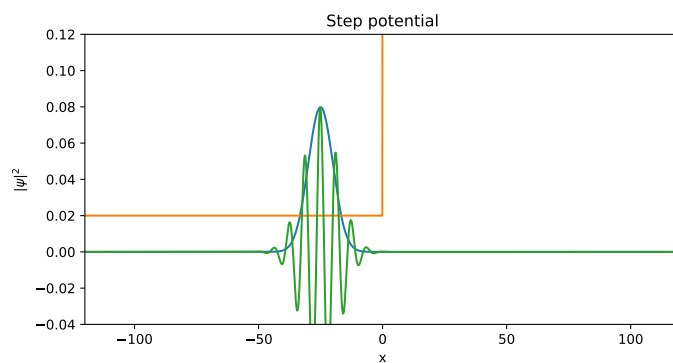


Рис. 15: Прямоугольный потенциальный барьер

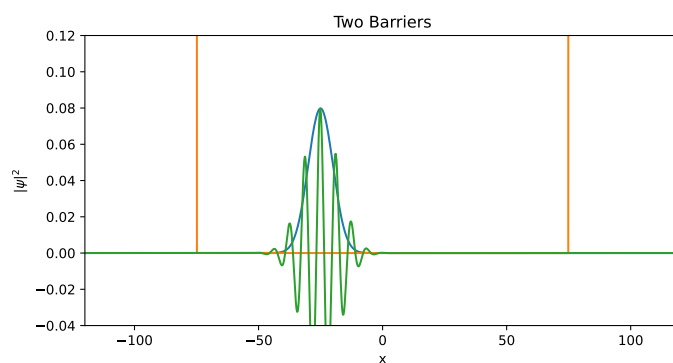


Рис. 16: Бесконечно глубокая потенциальная яма

5.6 Прямоугольный потенциальный барьер

На примере модели рассматривается проникание волновой функции под потенциальный барьер и ее экспоненциальное затухание рис 15.

5.7 Бесконечно глубокая потенциальная яма

Классическая задача, рассматриваемая в курсе физики – поведение волновой функции в потенциальной яме с бесконечно высокими стенками 16.

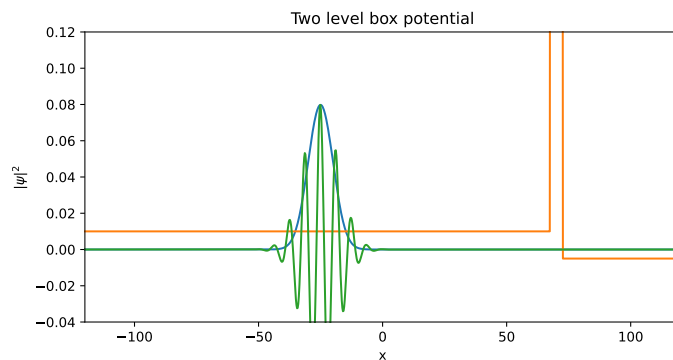


Рис. 17: Общий случай прямоугольного потенциального барьера

5.8 Общий случай прямоугольного потенциального барьера

Чуть более общий случай ситуации, рассмотренной на рис 13 представлен на рис 17. В данной модели помимо всего прочего значения потенциалов в первой и третьей областях не равны.

6 Вывод

Основной целью данной работы являлось теоретическое рассмотрение физических явлений, а так же визуальное наблюдение теоретических зависимостей на примере созданных качественных моделей. В данной работе при рассмотрении визуальных моделей мы наблюдали следующее:

1. Зависимость ширины волновой функции σ от времени.
2. Проникание волновой функции под потенциальный барьер.
3. Надбарьерный переход.
4. Подбарьерный переход (квантовое туннелирование).
5. Зависимость коэффициента подбарьерного перехода от энергии E .
6. Осцилирующий характер коэффициента надбарьерного перехода в зависимости от энергии E .
7. Зависимость коэффициента перехода от энергии квантовой частицы E , высоты потенциального барьера U и ширины потенциального барьера a .